

การคำนวณการลดของนิวครอนและแกมนาในเกราะกำบังรังสี



นางสาว มยุรพันธุ์ เกษมทรัพย์

วิทยานิพนธ์นี้เป็นส่วนหนึ่งของการศึกษาตามหลักสูตรปริญญาวิศวกรรมศาสตรมหาบัณฑิต

ภาควิชานิวเคลียร์เทคโนโลยี

บัณฑิตวิทยาลัย จุฬาลงกรณ์มหาวิทยาลัย

พ.ศ. 2527

ISBN 974-563-528-6

009353

16990869

CALCULATION OF NEUTRONS AND GAMMA ATTENUATION

IN RADIATION SHIELDS

MISS MAYURAPAN KASEMSAP

A Thesis Submitted in Partial Fulfillment of the Requirements

for the Degree of Master of Engineering

Department of Nuclear Technology

Graduate School

Chulalongkorn University

1984

หัวขอวิทยานิพนธ์ การคำนวณการลดของน้ำหนอนและแกมมาในเกราะกำบังรังสี  
 โดย นางสาว มยุรพันธุ์ เกษมทรัพย์  
 ภาควิชา นิวเคลียร์เทคโนโลยี  
 อาจารย์ที่ปรึกษา รองศาสตราจารย์ ดร.อัชชัย สุมิตร



บัณฑิตวิทยาลัย จุฬาลงกรณ์มหาวิทยาลัย อนุมัติให้นักวิทยานิพนธ์ฉบับนี้  
 เป็นส่วนหนึ่งของการศึกษาตามหลักสูตรปริญญามหาบัณฑิต

.....  
 (รองศาสตราจารย์ ดร.สุประดิษฐ์ บุนนาค)

คณะกรรมการสอบวิทยานิพนธ์

.....  
 (ศาสตราจารย์ สุวรรณ แสงเพ็ชร์)  
 ประธานกรรมการ

.....  
 (ผู้ช่วยศาสตราจารย์ นเรศร์ จันทน์ขาว)  
 กรรมการ

.....  
 (รองศาสตราจารย์ ดร.อัชชัย สุมิตร)  
 กรรมการ

ลิขสิทธิ์ของบัณฑิตวิทยาลัย จุฬาลงกรณ์มหาวิทยาลัย

**หัวขอวิทยานิพนธ์** การคำนวณการลดของนิวตรอนและแกมมาในเกราะกำบังรังสี  
**ชื่อนิสิต** นางสาว มยุรพันธุ์ เกษมทรัพย์  
**อาจารย์ที่ปรึกษา** รองศาสตราจารย์ ดร.ธัชชัย สุมิตร  
**ภาควิชา** นิวเคลียร์เทคโนโลยี  
**ปีการศึกษา** 2527



### บทคัดย่อ

วิทยานิพนธ์ฉบับนี้กล่าวถึงการคำนวณการลดจำนวนนิวตรอนและแกมมาในเกราะกำบังรังสี ตามหลักการของรีมูฟเวล - ดีพิวชั่น โดยเลือกใช้โปรแกรมคอมพิวเตอร์สำเร็จรูป SABINE - 3 โปรแกรมนี้เม่งระบุช่วงพลังงานของรีมูฟเวลนิวตรอนไว้ 19 กลุ่มพลังงาน (จาก 18 - 0.5 เมกะอิเลคตรอนโวลต์) และช่วงพลังงานของดีพิวชั่นนิวตรอน 26 กลุ่มพลังงาน (จาก 15 - 0 เมกะอิเลคตรอนโวลต์) เลือกวัสดุที่นำมาเป็นเกราะกำบังรังสีได้ 33 ธาตุ ชนิดรูปทรงของเหล็กและโลหะที่น้ำมามาเป็นเกราะกำบังรังสีได้ 33 ธาตุ ชนิดรูปทรงของเหล็กและโลหะที่น้ำมามาเป็นเกราะกำบังรังสี เป็นระบบ ทรงกระบอก ทรงกลมและจาน โดยคำนวณรีมูฟเวลนิวตรอนฟลักซ์ซึ่งจะเป็นต้นกำเนิดของดีพิวชั่นนิวตรอนฟลักซ์ด้วย จะได้ฟลักซ์ตลอดเกราะกำบังรังสี แล้วนำไปคำนวณนิวตรอนโอดสเรท ส่วนแกมมาในการคำนวณเม่งเป็น 7 กลุ่มพลังงาน (จาก 10 - 0 เมกะอิเลคตรอนโวลต์) ต้นกำเนิดแกมมากำหนดจากปฏิกิริยาพิชั่นอันตรกิริยาการถูกจับนิวตรอนและ inelastic scattering โดยพิจารณาจากนิวตรอนฟลักซ์ ค่าบินอับเฟคเตอร์เลือกคำนวณໄด้ 3 วิธี คำนวณแกมมาโอดสเรทและความร้อนที่สะสมในเกราะกำบังรังสี

ในการศึกษานี้ได้ทำการคำนวณเกราะกำบังรังสีสำหรับเหล็กกำเนิดนิวตรอน Cf - 252 เครื่องปฏิกรณ์แบบใช้แกสเป็นตัวหล่อเย็น (GCR) ขนาด 180 เมกะวัตต์ เครื่องปฏิกรณ์แบบใช้ชั่วต่อรวมค่าเป็นตัวหล่อเย็น (LWR) ขนาด 272 เมกะวัตต์ และต้นกำเนิดนิวตรอน Pu - Be ขนาด 5 ครูต์ จากการคำนวณในกรณีลูนาแบบต่าง ๆ โปรแกรม SABINE - 3 ให้ผลการคำนวณอยู่ในเกณฑ์ถูกต้องพอสมควร มีอุปกรณ์ในการคำนวณเกราะกำบังรังสีในลักษณะนี้ และเหมาะสมที่จะใช้คำนวณบัญญาเกี่ยวกับเกราะกำบังรังสีในลักษณะดังกล่าว โดยใช้เวลาการคำนวณไม่นานนัก ทำให้คำใช้จ่ายน้อยพอสมควร.

**Thesis Title** Calculation Of Neutrons And Gamma

Attenuation In Radiation Shields

**Name** Miss Mayurapan Kasemsap

**Thesis Advisor** Associate Professor Tatchai Sumitra

**Academic Year** 1984

### Abstract

This thesis present the calculations of neutron and gamma-ray attenuation in radiation shielding problems by using the Removal-Diffusion Method. The program used in the study was the SABINE-3 which is applicable in practical bulk shielding problems in plane, spherical, cylindrical and disk geometries. The energy range between 0.5 and 18.0 MeV has been divided into 19 removal groups, having roughly constant energy width. The calculation of the total neutron flux is performed in a 26 - diffusion groups scheme, that covers the energy range between 0 and about 15.0 MeV, with lethargy intervals of 0.5 - 1. Space distribution of the gamma-ray fluxes are performed for 7 energy groups with energy ranging 0 to about 10.0 MeV. Three options calculating the build-up factors, namely, interpolation, Broder's formula and Kitazume's formula, are available.

Shielding calculations for a Cf-252 neutron source, a - 180 MW.Gas Cooled Power Reactor, a 272 MW.Light-Water Cooled Power Reactor and a 5 Ci Pu-Be neutron source have been performed.

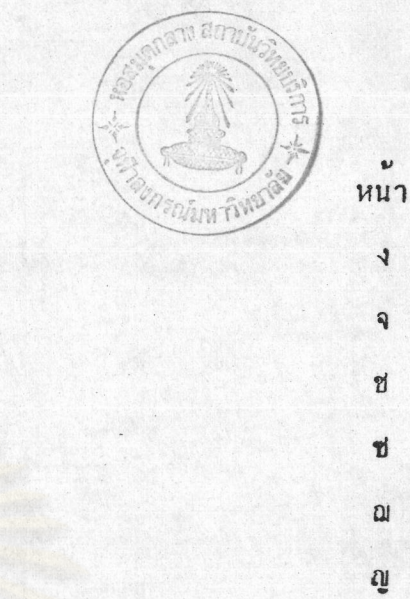
The results obtained were found to be reasonably accurate. It could be concluded that this method could be used fairly well for practical shielding problems. The computer time required is comparatively short and the program could be considered as an economical research tool.



### กิจกรรมประจำ

ผู้ที่วิทยานิพนธ์ขอทราบขอบพระคุณ รองศาสตราจารย์ ดร. ธีชชัย สุเมตร แห่งภาควิชานิวเคลียร์ เทคโนโลยี คณะวิศวกรรมศาสตร์ จุฬาลงกรณ์มหาวิทยาลัย ที่ได้กรุณาให้คำแนะนำทำทั้งทางด้านวิชาการและคอมพิวเตอร์พร้อมทั้งเป็นที่ปรึกษาในการทำวิทยานิพนธ์ฉบับนี้ คุณค่า โภยคลอต และผู้ที่วิทยานิพนธ์ขอขอบพระคุณ Mr. R. F. Shea แห่ง Nuclear & Plasma Science Society และ Mr. John Hubbell แห่ง National Bureau of Standards ประเทศสหรัฐอเมริกา ที่ได้กรุณาจัดส่งเอกสารต่าง ๆ ในการทำวิทยานิพนธ์นี้

ศูนย์วิทยบริการ  
จุฬาลงกรณ์มหาวิทยาลัย



## สารบัญ

บทคัดย่อภาษาไทย	หน้า
บทคัดย่อภาษาอังกฤษ	๑
กิตกรรมประการส	๒
สารบัญ	๓
รายการตารางรูปประกอบ	๔
รายการรูปประกอบ	๕
<b>บทที่</b>	
1. บทนำ	1
2. ทฤษฎีของอันตรกิริยาระหว่างนิวตรอนและนิวเคลียลของตัวกลาง	5
3. หลักการคำนวนการลอกของนิวตรอนและแกรมมาในกระดาษบังรังสี	20
4. ผลการศึกษาจากการคำนวนปัญหาต่างๆ	43
5. สรุปการวิจัยและขอเสนอแนะ	86
<b>บรรณานุกรม</b>	92
<b>ภาคผนวก</b>	
ก. การนำเสนอจากสมการการแพร์เซอร์เจชันของนิวตรอน	94
ช. ผลการคำนวน	100
ค. แผนผังการทำงานของโปรแกรม	232
ง. การจัดซ้อมคลในการคำนวน	236
<b>ประวัติ</b>	253

## รายการตารางรูปประกอบ

ตารางที่	หน้า
2.1 ชนิดและคุณสมบัติการเกิดอันตรกิริยา	16
3.1 กลุ่มพลังงานแคมมาที่ใช้ในโปรแกรม SABINE - 3	23
3.2 โครงสร้างกลุ่มพลังงานนิวตรอนที่ใช้ในโปรแกรม SABINE - 3	24
3.3 รายการธาตุ 33 ธาตุที่อาจใช้ได้ในโปรแกรม SABINE - 3	25
4.1 สรุปลักษณะของบริเวณต่าง ๆ ของบัญชา	45
4.2 รายละเอียดและเงื่อนไขในการคำนวน	46
4.3 สรุปการลดนิวตรอนฟลักซ์กลุ่มพลังงานที่ 1, 13 และ 26 ในชั้นต่าง ๆ	47
4.4 สรุปลักษณะของบริเวณต่าง ๆ ของบัญชา	55
4.5 รายละเอียดและเงื่อนไขในการคำนวน	56
4.6 แคมมาโอดส์เรทที่ระยะต่าง ๆ เมื่อคำนวนบิล้อบเพคเตอร์ 2 แบบคือ	57
<b>Broder และ Kitazume</b>	
4.7 สรุปลักษณะบริเวณต่าง ๆ ที่ใช้ในการคำนวน	65
4.8 รายละเอียดและเงื่อนไขในการคำนวน	66
4.9 สรุปผลการคำนวนที่ริมสุดของเกราะกำบังรังสี	68
4.10 รายละเอียดชั้นเกราะกำบังรังสีที่เพิ่มขึ้นในการคำนวน	69
4.11 สรุปนิวตรอนฟลักซ์ที่ริมเกราะกำบังรังสีที่เพิ่มขึ้นในการคำนวนกลุ่ม พลังงานที่ 1 และ 26	70
4.12 ความหนาแน่นนิวตรอนในกลุ่มพลังงานต่าง ๆ ของ $P^{238}/Be$	74
4.13 สรุปลักษณะของบริเวณต่าง ๆ ในการคำนวน	75
4.14 รายละเอียดและเงื่อนไขในการคำนวน	76
4.15 สรุปผลการคำนวนที่ความหนาต่าง ๆ กันของคอนกรีต	77
4.16 สรุปผลการคำนวนกรดต่าง ๆ ในการคำนวน	78

## รายการรูปประกอบ

รูปที่	หน้า
2.1 เหตุการณ์การเกิด elastic scattering	5
2.2 เหตุการณ์การเกิด inelastic scattering	6
2.3 คุณสมบัติของนิวเคลียลคล้ำๆ	8
2.4 การแพร่กระจายของนิวตรอน	10
2.5 การกระจายของนิวตรอนตามส่วนการแฝงช่วงเวลา	11
2.6 กระแสของ การแพร่กระจายของนิวตรอน	12
2.7 การเกิด photoelectric effect	13
2.8 การเกิด pair production	14
2.9 การเกิด incoherent(compton) scattering	15
3.1 รูปทรงแหล่งกำเนิด รูปแบบ ทรงกระบอก ทรงกลมและฯลฯ	22
4.1 สเปกตรัมของนิวตรอนที่ได้จาก Californium-252	44
4.2 ลักษณะของปัญหาอาจสรุปได้ดังแสดงโดยสังเขป	44
4.3 นิวตรอนพลักซ์ของ Californium - 252 ในเกราะกำบังรังสีที่คำนวณได้	49
4.4 นิวตรอนพลักซ์ของ Californium - 252 ในเกราะกำบังรังสีที่ผู้พัฒนาโปรแกรมเสนอไว้ (Ponti, 1967)	50
4.5 นิวตรอนโโคสเรทของ Californium - 252	51
4.6 แกมมาโโคสเรทของ Californium - 252 ในเกราะกำบังรังสี	52
4.7 ลักษณะของเตาปฏิกรณ์และชั้นดัก ของเกราะกำบังรังสี Calder Hall	54
4.8 นิวตรอนพลักซ์ที่คำนวณได้จาก SABINE - 3 ในกรีฟ Calder Hall	59
4.9 นิวตรอนพลักซ์ที่คำนวณได้จาก RASH ในกรีฟของ Calder Hall	60
4.10 ค่าโโคสเรทที่คำนวณได้จาก SABINE - 3 ในกรีฟ Calder Hall	61
4.11 แกมมาโโคสเรทที่ได้จากเตาปฏิกรณ์ Calder Hall	62

รูปที่	หน้า
4.12 ภาคตัดขวางของแกนเตาปฏิกรณ์ Indian Point Atomic Power	63
4.13 ลักษณะภายในอกและภายในของ Pressure Vessel	64
4.14 ลักษณะของสังเขปในการเพิ่มชั้นของเกราะกำบังรังสี	67
4.15 ลักษณะของไอโซโทปแหล่งกำเนิด $Pu^{238}$	73
4.16 สเปคตรัมการนิวเคลียรอนของ $Pu^{238}/Be$	73
4.17 นิวเคลียรอนฟลักซ์ของ $Pu^{238}/Be$ เมื่อในหุ้กกลุ่มพลังงานในคอนกรีต	80
<b>ธรรมชาติ</b>	
4.18 นิวเคลียรอนฟลักซ์ของ $Pu^{238}/Be$ เมื่อในนิวเคลียรอนทั้ง 26 กลุ่มพลังงาน	81
4.19 โคลสเรทของ $Pu^{238}/Be$ เมื่อแหล่งกำเนิดในนิวเคลียรอนหุ้กกลุ่มพลังงาน ในคอนกรีตทั้ง 2 ชนิด	82
4.20 นิวเคลียรอนฟลักซ์กลุ่มที่ 1, 13 และ 26 ที่ได้จากการคำนวณเมื่อแหล่งกำเนิดเป็น $Pu^{238}/Be$	83
4.21 นิวเคลียรอนฟลักซ์ของ $Pu^{238}/Be$ ผสมในคอนกรีต 2 %	84
4.22 ค่าโคลสเรทของ $Pu^{238}/Be$ ทั้งปันและไม่ปันในคอนกรีต	85